

文章编号:0253-2778(2016)12-1015-07

席夫碱类荧光探针 $\text{CH}_3\text{CN}/\text{H}_2\text{O}$ 体系检测 Cu^{2+} 离子

丁津津¹, 张宇唤², 宋新宽¹, 杨青青¹, 王毅朴¹, 马丹阳¹,
汤艳峰¹, 孙同明¹, 朱金丽¹

(1. 南通大学化学化工学院, 江苏南通 226019; 2. 南通大学纺织服装学院, 江苏南通 226019)

摘要: 以 1-氨基-2-萘酚和 2,4-二羟基苯甲醛为原料合成了席夫碱($2',4'$ -二羟基苯亚甲基亚氨基)-2-萘酚(**L**),采用 FT-IR,¹HNMR 和 ESI-MS 对其结构进行了表征。在 $V(\text{CH}_3\text{CN}) : V(\text{HEPES}) = 1 : 1$ (pH=7.2)缓冲溶液中,研究了 **L** 对多种金属离子(Cu^{2+} , Hg^{2+} , Ag^+ , Pb^{2+} , Cd^{2+} , Zn^{2+} , Ni^{2+} , Co^{2+} , Fe^{2+} , Al^{3+} , Mn^{2+} , Ca^{2+} , Mg^{2+} , K^+ , Na^+)的荧光响应性能。结果表明:**L** 能够通过荧光猝灭响应选择性识别 Cu^{2+} ,且几乎不受其他金属离子的干扰。在 Cu^{2+} 浓度为 $0 \sim 2.5 \times 10^{-5}$ mol/L 范围内,溶液荧光强度与 Cu^{2+} 浓度呈现良好的线性关系,据此计算 **L** 与 Cu^{2+} 的结合常数为 3.33×10^4 L/mol,对 Cu^{2+} 的检出限为 4.92×10^{-7} mol/L。**L** 在实际水体中与 Cu^{2+} 在 $0 \sim 2.5 \times 10^{-5}$ mol/L 浓度下依然表现出较好的线性关系。

关键词: 席夫碱; 荧光分子探针; Cu^{2+} ; 荧光猝灭

中图分类号: O614. 24 **文献标识码:** A doi:10. 3969/j. issn. 0253-2778. 2016. 12. 008

引用格式: 丁津津, 张宇唤, 宋新宽, 等. 席夫碱类荧光探针 $\text{CH}_3\text{CN}/\text{H}_2\text{O}$ 体系检测 Cu^{2+} 离子[J]. 中国科学技术大学学报, 2016, 46(12): 1015-1021.

DING Jinjin, ZHANG Yuhuan, SONG Xinkuan, et al. A Schiff base fluorescence probe for Cu^{2+} ion in $\text{CH}_3\text{CN}/\text{H}_2\text{O}$ [J]. Journal of University of Science and Technology of China, 2016, 46(12): 1015-1021.

A Schiff base fluorescence probe for Cu^{2+} ion in $\text{CH}_3\text{CN}/\text{H}_2\text{O}$

DING Jinjin¹, ZHANG Yuhuan², SONG Xinkuan¹, YANG Qingqing¹, WANG Yipu¹,
MA Danyang¹, TANG Yanfeng¹, SUN Tongming¹, ZHU Jinli¹

(1. School of Chemistry and Chemical Engineering, Nantong University, Nantong 226019, China;

2. School of Textiles and Clothing, Nantong University, Nantong 226019, China)

Abstract: A Schiff base ($2',4'$ -dihydroxyl phenylideneimino)-2-naphthol (**L**) was synthesized from 1-amino-2-naphthol and 2,4-dihydroxybenzaldehyde. The aim compound was characterized by FT-IR, ¹HNMR and ESI-MS. In the solution of $V(\text{CH}_3\text{CN}) : V(\text{HEPES}) = 1 : 1$ at pH 7.2, the fluorescence responses of **L** to many metal ions (Cu^{2+} , Hg^{2+} , Ag^+ , Pb^{2+} , Cd^{2+} , Zn^{2+} , Ni^{2+} , Co^{2+} , Fe^{2+} , Al^{3+} , Mn^{2+} , Ca^{2+} , Mg^{2+} , K^+ , Na^+) were studied. The results indicate that **L** displays a fluorescence quenching for Cu^{2+} with good selectivity and without obvious interferences by other metal ions. In the concentration range of Cu^{2+} from 0 to 2.5×10^{-5} mol/L, the fluorescence intensity of this solution shows a good linear relationship with the

收稿日期:2016-11-18;修回日期:2016-12-21

基金项目:国家自然科学基金(21303090, 21376124, 21476117)资助。

作者简介:丁津津,女,1983年生,博士/讲师。研究方向:功能分子设计及量化计算。E-mail: djing@ntu.edu.cn

通讯作者:朱金丽,博士/副教授。E-mail: jinlizhu@ntu.edu.cn

concentration of Cu^{2+} . Based on this curve, the binding constant between **L** and Cu^{2+} is $3.33 \times 10^4 \text{ L/mol}$, and the detection limit of **L** for Cu^{2+} is calculated to be $4.92 \times 10^{-7} \text{ mol/L}$. In natural water, **L** also shows a good linearity with Cu^{2+} in the concentration range of Cu^{2+} from 0 to $2.5 \times 10^{-5} \text{ mol/L}$.

Key words: Schiff base; fluorescence probe; Cu^{2+} ; fluorescence quenching

0 引言

铜是生命体所必需的仅次于铁和锌的微量元素,在生命体的新陈代谢中起着至关重要的作用^[1-3]。它通常以金属酶的形式参与生命体系中的电子转移传输、氧化还原等生化过程^[4-5]。正常血液中血铜的含量为 $100 \sim 150 \mu\text{g/dL}$ ^[6]。如果过量摄入铜,即使在很短的时间内也会造成肠胃不良反应,长时间则会严重损害肝肾功能^[7-9]。铜紊乱同样会引起多种神经性疾病,如 Menkes 综合症、Wilson 病、老年痴呆症等^[10-15]。美国环境保护局规定饮用水中 Cu^{2+} 浓度上限为 1.3 mg/L ^[16]。

因此,对于 Cu^{2+} 的检测特别是在饮用水源中 Cu^{2+} 的高效检测十分重要。目前,对 Cu^{2+} 的检测主要有原子吸收、等离子发射-质谱联用、电化学、荧光分子探针等方法^[17-19]。其中,荧光分子探针方法因具有选择性高、灵敏度高、实时在线、响应快速等优势,在化学、环境和生命等科学领域引起了广泛关注^[20-26]。现有的 Cu^{2+} 荧光分子探针主要有罗丹明类^[27]和香豆素类^[28],这些荧光探针均具有良好的选择性和灵敏度,但这两类探针设计需要对罗丹明和香豆素母体结构的修饰和衍生,才能形成有效的螯合点位。设计合成分子结构简单,同时具有优良性能的 Cu^{2+} 荧光探针具有良好的实用意义。

本文以 1-氨基-2-萘酚和 2,4-二羟基苯甲醛一步合成了席夫碱 **L**,将其应用于 Cu^{2+} 检测。在多种金属离子存在的条件下研究了 **L** 的选择性、灵敏度和抗干扰能力,通过线性拟合计算了其检出限和结合常数。

1 实验

1.1 试剂与仪器

各种试剂均为分析纯,购自国药集团化学试剂有限公司。所用金属盐为: HgCl_2 , $\text{Ni}(\text{NO}_3)_2 \cdot 6\text{H}_2\text{O}$, MgSO_4 , KNO_3 , AgNO_3 , $\text{FeSO}_4 \cdot 7\text{H}_2\text{O}$, $\text{Mn}(\text{NO}_3)_2$, $\text{Pb}(\text{NO}_3)_2$, NaCl , $\text{CuCl}_2 \cdot 2\text{H}_2\text{O}$, $\text{Al}(\text{NO}_3)_3 \cdot 9\text{H}_2\text{O}$, $\text{CoSO}_4 \cdot 7\text{H}_2\text{O}$, $\text{Zn}(\text{NO}_3)_2 \cdot 6\text{H}_2\text{O}$, $\text{Cd}(\text{NO}_3)_2 \cdot 4\text{H}_2\text{O}$, CaCl_2 , AlCl_3 ,

$\text{Co}(\text{NO}_3)_2 \cdot 6\text{H}_2\text{O}$;实验所用的水为去离子水;1-氨基-2-萘酚、2,4-二羟基苯甲醛等均为国产试剂。

所用仪器有:紫外可见光谱仪(TU-1901 Double-beam UV-Vis spectrophotometer);荧光光谱仪(F-7000 fluorescence spectrometer(Japan));Bruker 400MHz NMR 核磁共振仪(DMSO-d₆ 为溶剂,TMS 为内标);Nicolet 5700 红外光谱仪(KBr 压片)。

1.2 L 的合成与表征

在 50 mL 的三口烧瓶中加入 1-氨基-2-萘酚(0.407 8 g, 2.562 mmol), 2,4-二羟基苯甲醛(0.350 4 g, 2.537 mmol), 0.1 mL 乙酸, 15 mL 乙酸乙酯, 充氮气保护, 此混合溶液在氮气保护下加热回流 12 h 后, 将反应液用冰盐浴(-5°C)进行冷却, 然后进行过滤, 以对产物进行重结晶(8 mL 乙酸乙酯、2 mL 乙醇), 烘干后, 称量共得产物 **L** 为 0.326 8 g, 收率为 45.8%。席夫碱 **L** 的合成路线如图 1 所示。¹H NMR(400 MHz, d₆-DMSO): δ 13.13 (s, 1H), 11.28 (s, 1H), 10.69 (s, 1H), 8.94 (s, 1H), 7.91 (m, 1H), 7.90 (m, 1H), 7.84 (m, 1H), 7.82 (m, 1H), 7.56 (dd, 1H), 7.41 (d, 1H), 7.39 (d, 1H), 6.56 (d, 1H), 6.54 (d, 1H). FT-IR(KBr): ν 443 cm⁻¹, 1 617 cm⁻¹, 1 518 cm⁻¹, 1 506 cm⁻¹, 1 320 cm⁻¹, 1 243 cm⁻¹, 1 126 cm⁻¹. ESI-MS: [M+H]⁺ = 280.1.

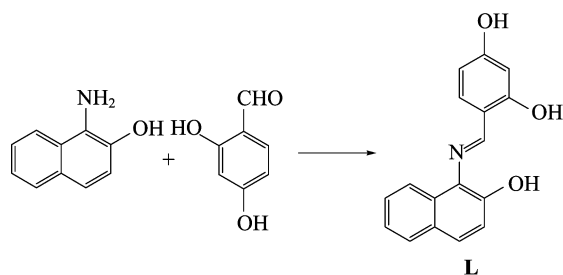


图 1 L 的合成

Fig. 1 The synthesis of **L**

1.3 样品的制备与滴定

分别将各种金属盐(HgCl_2 , $\text{Ni}(\text{NO}_3)_2 \cdot 6\text{H}_2\text{O}$, MgSO_4 , KNO_3 , AgNO_3 , $\text{FeSO}_4 \cdot 7\text{H}_2\text{O}$,

Mn(NO₃)₂, Pb(NO₃)₂, NaCl, CuCl₂ · 2H₂O, Al(NO₃)₃ · 9H₂O, CoSO₄ · 7H₂O, Zn(NO₃)₂ · 6H₂O, Cd (NO₃)₂ · 4H₂O, CaCl₂, AlCl₃, Co(NO₃)₂ · 6H₂O 配成 1 × 10⁻² mol/L 水溶液, HEPES 配成 2 × 10⁻² mol/L 水溶液, 再配制 V(EtOH) : V(HEPES) = 95 : 5 的缓冲溶液(pH = 7.2); 化合物 L 乙醇标准液的浓度为 1.0 × 10⁻³ mol/L。金属离子对化合物 L 的紫外吸收和荧光强度的影响通过以下方法测定: 在石英比色皿中加入 3 mL V(EtOH) : V(HEPES) = 95 : 5 缓冲溶液, 加入 L 标准溶液 30 μL(缓冲溶液中 L 的浓度为 1.0 × 10⁻⁵ mol/L), 随后加入各种金属离子溶液测定荧光光谱。荧光激发波长为 288 nm, 狹缝宽度为 2.5 nm/5.0 nm。

1.4 量子产率测定

使用硫酸奎宁 ($\Phi = 0.53$, 0.1 mol/L H₂SO₄)^[29] 作为标准物来计算荧光量子产率, 并用下式计算:

$$\Phi_{\text{unk}} = \Phi_{\text{std}} \times \left(\frac{I_{\text{unk}}}{I_{\text{std}}} \right) \times \left(\frac{A_{\text{std}}}{A_{\text{unk}}} \right) \times \left(\frac{n_{\text{unk}}}{n_{\text{std}}} \right)^2 \times \left(\frac{\lambda_{\text{unk}}}{\lambda_{\text{std}}} \right).$$

式中, Φ_{unk} 为样品的荧光量子产率; Φ_{std} 为标准物的荧光量子产率; I_{unk} 和 I_{std} 分别为样品和标准物的荧光发射强度积分面积; λ_{unk} 和 λ_{std} 分别为样本和标准物吸收所对应的激发波长; A_{unk} 和 A_{std} 分别为样品和标准物在波长 λ_{unk} 和 λ_{std} 下的紫外吸收值; n_{unk} 和 n_{std} 分别为样品和标准物的溶液折射率。

1.5 结合常数和检出限的测定

使用 Benesi-Hildebrand^[30-32] 方程式来计算结合常数:

$$\frac{1}{(I - I_0)} = \frac{1}{(I - I_{\text{fc}})} + \frac{1}{K(I - I_{\text{fc}})C(\text{Fe}^{3+})}.$$

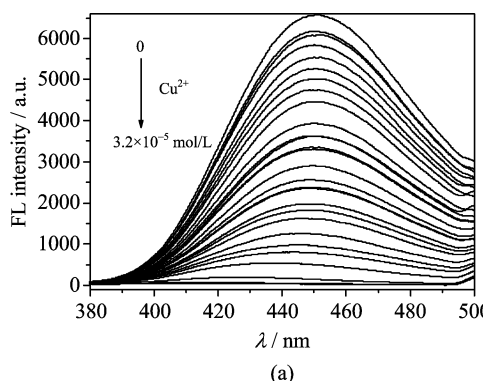


图 2 L 对 Cu²⁺ 的荧光发射光谱(a)和荧光强度随铜离子浓度的变化曲线(b)

Fig. 2 Fluorescence emission spectra of L upon the gradual addition of Cu²⁺ (a), and the intensity changes versus the concentrations of Cu²⁺ (b)

式中, K 是络合常数; I_0 是化合物 L 与 Fe³⁺ 作用后产生的荧光强度; I 是化合物 L 的荧光强度; I_{fc} 是铁离子滴加到饱和当量的荧光强度。如果 $1/(I - I_0)$ 与 $1/[C(\text{Fe}^{3+})]$ 呈线性关系, 那就说明 L 和铁离子是 1 : 1 络合。

荧光探针在低浓度下对目标物的检出能力(简称检出限, DL)用下式^[33]来计算:

$$DL = K \times Sb_1 / |S|.$$

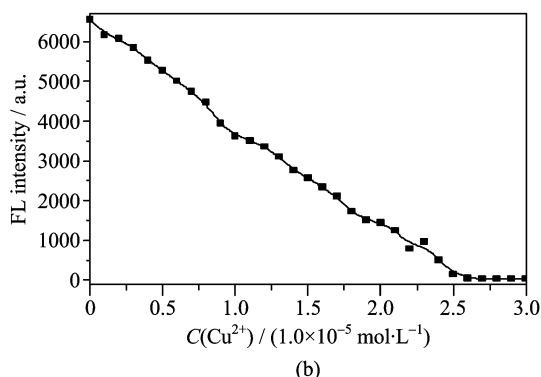
式中, K 为 3; Sb_1 为空白溶液的标准偏差; S 为校准曲线的斜率。

2 结果与讨论

2.1 L 和 L-Cu²⁺ 荧光发射光谱

图 2(a)为在 V(EtOH) : V(HEPES) = 95 : 5 的缓冲溶液(pH = 7.2)条件下, L 对 Cu²⁺ 的荧光发射光谱。L 分子结构中具有 3 个 OH, 赋予了 L 良好的水溶性。从图 2(a)可以看出, 在 250 nm 紫外光的激发下, L 在 450 nm 处产生了最大荧光发射峰。在体系中加入 Cu²⁺, 荧光强度减弱。当 Cu²⁺ 加入到 3 × 10⁻⁵ mol/L 时, 荧光量子产率由 0.19 降到 0.026, 体系荧光几乎全部被 Cu²⁺ 猥灭, 这说明 L 与 Cu²⁺ 发生了络合反应生成了 L-Cu²⁺。图 2(b)为荧光强度随着 Cu²⁺ 浓度的变化曲线。从图 2(b)中可以看出, Cu²⁺ 在 0~2.5 × 10⁻⁵ mol/L 范围内, 荧光强度和 Cu²⁺ 浓度之间呈现出良好的线性关系。

从图 3(a)可以看出, 在 0~2.5 × 10⁻⁵ mol/L 浓度范围内, 在 450 nm 处体系荧光发射强度与 Cu²⁺ 呈现出良好的线性关系。曲线方程经拟合为 $y = -2539.4x + 6453.06$, $R^2 = 0.9946$ 。根据这一线性关系可以计算出检出限为 4.92 × 10⁻⁷ mol/L, 这一检出限可以检测到亚微摩尔的 Cu²⁺。根据基于



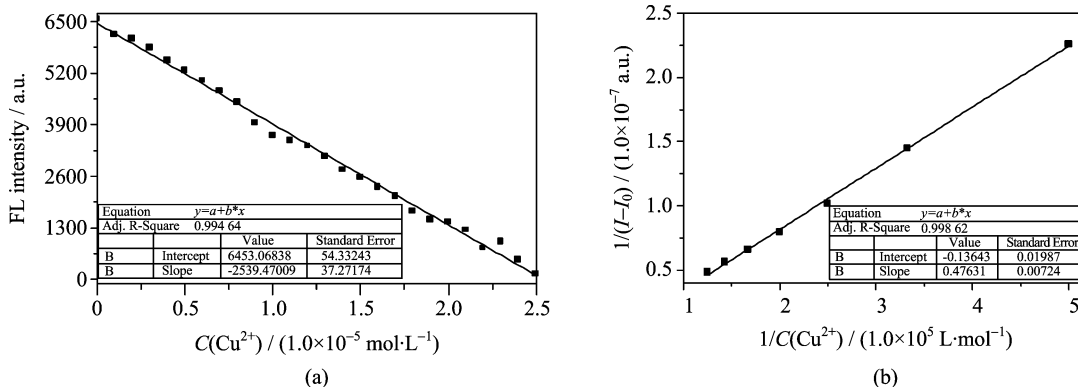


图 3 L 对 Cu²⁺ 检出限测定曲线(a), 以及 L 和 Cu²⁺ 络合常数的测定曲线(b)

Fig. 3 Calculation of detection limit of L for Cu²⁺ (a), and calculation of binding constant between L and Cu²⁺ (b)

1 : 1 结合模式的 Benesi-Hildebrand 分析得到图 3(b), 这条曲线依然有很好的线性关系。拟合方程为 $y = -0.136x + 0.476, R^2 = 0.9986$ 。由这一方程可以计算出络合常数为 $3.33 \times 10^4 \text{ L/mol}$ 。

2.2 L 对金属离子的选择性

在 $V(\text{CH}_3\text{CN}) : V(\text{HEPES}) = 1 : 1$ (pH 7.2) 的缓冲溶液中, L 浓度为 $1 \times 10^{-5} \text{ mol/L}$, 采用 $3 \times 10^{-5} \text{ mol/L}$ 的多种金属离子 ($\text{Hg}^{2+}, \text{Ag}^+, \text{Pb}^{2+}, \text{Cu}^{2+}, \text{Cd}^{2+}, \text{Zn}^{2+}, \text{Ni}^{2+}, \text{Co}^{2+}, \text{Fe}^{2+}, \text{Al}^{3+}, \text{Mn}^{2+}, \text{Ca}^{2+}, \text{Mg}^{2+}, \text{K}^+, \text{Na}^+$) 进行了荧光光谱测试, 考察 L 对 Cu²⁺ 的选择性, 结果见图 4。结果表明, 当 L 中加入 Hg²⁺, Ag⁺, Pb²⁺, Cu²⁺, Cd²⁺, Zn²⁺, Ni²⁺, Co²⁺, Fe²⁺, Al³⁺, Mn²⁺, Ca²⁺, Mg²⁺, K⁺, Na⁺ 时, 体系荧光强度几乎不变。但当加入 $3 \times 10^{-5} \text{ mol/L}$ Cu²⁺ 后, 荧光强度大大降低, 这说明 Cu²⁺ 对 L 产生了明显的 on-off 荧光猝灭。

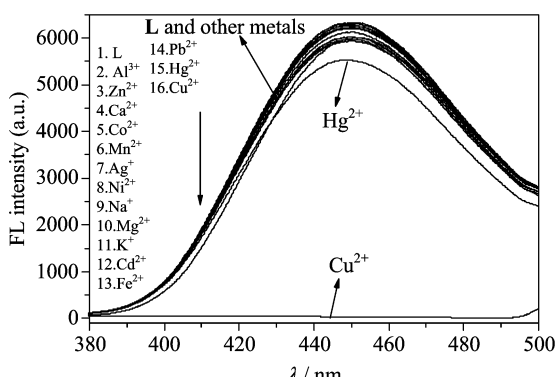


图 4 加入各种金属离子后体系的荧光发射图

Fig. 4 Fluorescence spectra upon the addition of various metal ions

为了进一步考察其他金属离子对 Cu²⁺ 的干扰, 研究了各种金属离子对 Cu²⁺ 的竞争关系, 结果见图

5。从图 5 中可以看出, 未加入 Cu²⁺ 之前, 各金属离子的 L 溶液均具有很强且相似的荧光强度; 当在各金属离子溶液中加入 $3 \times 10^{-5} \text{ mol/L}$ 的 Cu²⁺ 后, 均出现了相似的荧光猝灭现象。这说明其他金属离子的存在对于 Cu²⁺ 对 L 的荧光猝灭并未产生干扰, 表明 L 对 Cu²⁺ 的荧光 on-off 识别具有良好的选择性和抗干扰能力。

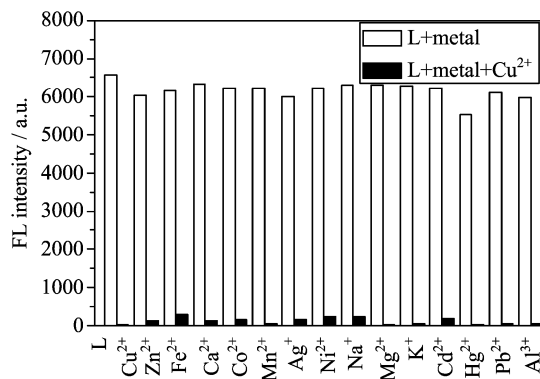


图 5 各种金属离子的 L 体系荧光以及加入 Cu²⁺ 后体系的荧光强度

Fig. 5 Fluorescence intensities of L solutions with various metal ions before and after respective addition of Cu²⁺

2.3 L 与 Cu²⁺ 的络合方式

采用等物质的量连续变化法 (Job's Plot) 测定了 L 与 Cu²⁺ 的络合比 (图 6)。从图 6 可以看出, 两条拟合直线相交于 0.5 左右, 说明 L 与 Cu²⁺ 的络合比应该为 1 : 1。推测其络合方式可能如图 7 所示。

2.4 L 在实际水质检测 Cu²⁺

pH 值是水的一个重要指标, 要实现 L 对自然界水体中 Cu²⁺ 的检测, 必须要考察 L 适用的 pH 值范围。图 8 为广泛 pH 值条件下 L 和 L+Cu²⁺ 的荧光强度。从图中可以看出, 当 pH > 10 时, 不论是 L

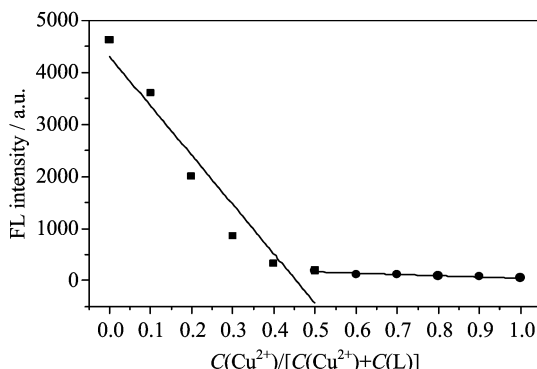


图 6 L 和 Cu²⁺ 等物质的量不同络合比与
荧光强度变化 (Job's plot)

Fig. 6 The fluorescence intensity changes
of the solution in a constant mole with different
ratios of L to Cu²⁺ (Job's plot)

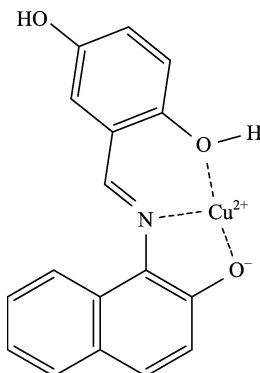


图 7 推测的 L 和 Cu²⁺ 结合机制

Fig. 7 Proposed binding mechanism of L and Cu²⁺

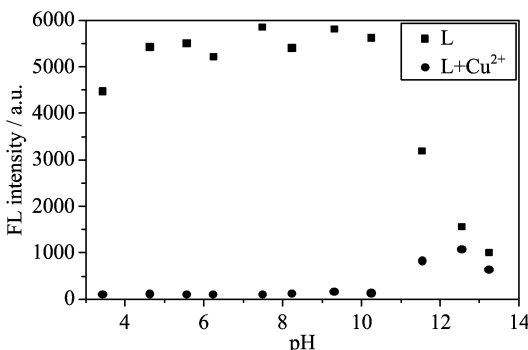


图 8 不同 pH 值下纯 L 溶液与 L+Cu²⁺ 溶液
体系的荧光强度

Fig. 8 The fluorescence intensities of pure L solution
and L solution added with Cu²⁺ at various pH

还是 L+Cu²⁺ 体系的荧光强度均发生了明显的变化。这是因为 L 在较强碱性条件下，酚羟基因为自

身酸性而与碱发生酸碱中和生成酚 O⁻，即会生成 L⁻，从而使体系表现出 L⁻ 的荧光，其趋势是荧光逐渐减弱。在 L+Cu²⁺ 体系中，则是由于 OH⁻ 的加入，体系中的 Cu²⁺ 会与之生成 Cu(OH)₂ 沉淀，即随着 OH⁻ 的加入会夺取络合物 L-Cu²⁺ 中的 Cu²⁺，使得 L 重新游离，导致 L+Cu²⁺ 体系荧光不稳定而增强。从图 8 中可以看出，pH 在 4~10 范围内时，L 和 L+Cu²⁺ 体系荧光强度几乎不变，而加入 Cu²⁺ 后体系的荧光强度明显减弱，是合适的 pH 值测试范围。说明加入 Cu²⁺ 后 L 与 Cu²⁺ 形成络合物，荧光发生猝灭，且在 pH=4~10 荧光强度稳定，故在 pH=4~10，L 适用于 Cu²⁺ 的荧光检测。

采集自来水(实验室)、河水(南通市濠河)和湖水(南通大学校内)，并调节 pH 值为 7.2 时，进行了 Cu²⁺ 的浓度测试^[34]，结果见图 9。从图中可以看出，3 种水质中 L 对 Cu²⁺ 都呈现出较好的线性关系，可应用这一直线对实际水质进行定量检测。

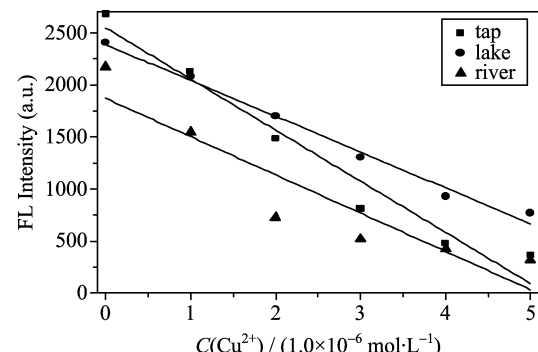


图 9 L 在河水、湖水和自来水中对于 Cu²⁺ 的荧光检测

Fig. 9 Fluorescence intensities of L upon addition
of Cu²⁺ in river, lake and tap water samples

3 结论

本文以 1-氨基-2-萘酚和 2,4-二羟基苯甲醛为原料合成了席夫碱 L，收率为 45.8%，并通过 FT-IR, HNMR 和 MS 验证了其结构。然后研究了 L 荧光强度对多种金属离子的响应，结果表明 Cu²⁺ 能够选择性猝灭其荧光，而且不受其他多种金属离子的干扰。在 Cu²⁺ 浓度为 0~2.5×10⁻⁵ mol/L 范围内，L 与 Cu²⁺ 浓度具有良好的线性关系。据此计算其检出限为 4.92×10⁻⁷ mol/L，络合常数为 3.33×10⁴ L/mol。最后，通过河水和湖水测试，显示 L 能够应用于实际水体中的 Cu²⁺ 检测。

参考文献(References)

- [1] 王迎春, 刘陆智, 李芳耀, 等. 一种脱氢松香基二吡啶吩嗪衍生物的合成及其对铜离子的识别[J]. 精细化工, 2011, 28(3):303-307.
WANG Yingchun, LIU Luzhi, LI Fangyao, et al. Synthesis of a dehydroabietylidopyridophenazine derivative and recognition on copper ion [J]. Fine Chemicals, 2011, 28(3):303-307.
- [2] BARCELOUX D G. Copper[J]. Clinical Toxicology, 1999, 37(2):217-230.
- [3] ZHANG C H, GAO B Z, ZHANG Q Y, et al. A simple schiff base fluorescence probe for highly sensitive and selective detection of Hg^{2+} and Cu^{2+} [J]. Talanta, 2016, 154:278-283.
- [4] RADISKY D, KAPLAN J. Regulation of transition metal transport across the yeast plasma membrane[J]. The Journal of Biological Chemistry, 1999, 274 (8): 4 481-4 484.
- [5] WUH P. Dynamics and performance of fast linear scan anodic stripping voltammetry of Cd, Pb, and Cu using in situ-generated ultrathin mercury films[J]. Analytical Chemistry, 1996, 68(9):1 639-1 645.
- [6] HINKS L J, CLAYTON B E, LLOYD R S. Zinc and copper concentrations in leucocytes and erythrocytes in healthy adults and the effect of oral contraceptives[J]. Journal of Clinical Pathology, 1983, 36(9):1 016-1 021.
- [7] DOMAILLE D W, QUE E L, CHANG C J. Synthetic fluorescent sensors for studying the cell biology of metals [J]. Nature Chemical Biology, 2008, 4: 168-175.
- [8] GAGGELLI E, KOZLOWSKI H, VALENSIN D, et al. Copper homeostasis and neurodegenerative disorders (Alzheimer's, Prion, and Parkinson's diseases and amyotrophic lateral sclerosis) [J]. Chemical Reviews, 2006, 106:1 995-2 044.
- [9] DERAEVE C, BOLDRON C, MARAVALA, et al. Preparation and study of new poly-8-hydroxyquinoline chelators for an anti-Alzheimer strategy [J]. Chemistry: A European Journal, 2008, 14:682-696.
- [10] DODANI S C, LEARY S C, COBINE PA, et al. A targetable fluorescent sensor reveals that copper-deficient SCO1 and SCO2 patient cells prioritize mitochondrial copper homeostasis [J]. Journal of the American Chemical Society, 2011, 133:8 606-8 616.
- [11] BARNHAM K J, MASTERS C L, BUSH A I. Neurodegenerative diseases and oxidative stress [J]. Nature Reviews Drug Discovery, 2004, 3:205-214.
- [12] VILES J H. Metal ions and amyloid fiber formation in neurodegenerative diseases. Copper, zinc and iron in Alzheimer's, Parkinson's and prion diseases [J]. Coordination Chemistry Reviews, 2012, 256: 2 271-2 284.
- [13] SHENG R, WANG P, GAO Y, et al. Colorimetric test kit for Cu^{2+} detection[J]. Organic Letters, 2008, 10:5 015-5 018.
- [14] PRAMANIK D, GHOSH C, DEYS G. Heme-Cu bound $\text{A}\beta$ peptides: Spectroscopic characterization, reactivity, and relevance to Alzheimer's disease [J]. Journal of the American Chemical Society, 2011, 133: 15 545-15 552.
- [15] SMITH D P, CICCOTOSTO G D, TEW D J, et al. Concentration dependent Cu^{2+} induced aggregation and dityrosine formation of the Alzheimer's disease amyloid- β peptide [J]. Biochemistry, 2007, 46: 2 881-2 891.
- [16] YUAN Y, SUN S, LIU S, et al. Highly sensitive and selective turn-on fluorescent probes for Cu^{2+} based on rhodamine B[J]. Journal of Materials Chemistry B, 2015, 3:5 261-5 265.
- [17] POURREZA N, HOVEIZAVIR. Simultaneous preconcentration of Cu, Fe and Pb as methylthymol blue complexes on naphthalene adsorbent and flame atomic absorption determination [J]. Analytica Chimica Acta, 2005, 549(1):124-128.
- [18] ROMANI J O, MOREDA A P, BARRERA A B, et al. Evaluation of commercial C₁₈ cartridges for trace elements solid phase extraction from sea water followed by inductively coupled plasma-opticalemission spectrometry determination [J]. Analytica Chimica Acta, 2005, 536(2):213-218.
- [19] BENI V, OGURTSOV V I, BAKUNIN N V, et al. Development of a portable electroanalytical system for the stripping voltammetry of metals: Determination of copper in acetic acid soil extracts[J]. Analytica Chimica Acta, 2005, 552(1):190-200.
- [20] 史大昕, 冯亚青, 李筱芳. 双酰亚胺类蛋白质荧光探针的合成[J]. 精细化工, 2004, 21(4):245-248.
SHI Daxin, FENG Yaqing, LI Xiaofang. Synthesis of di-imides as protein fluorescent probes [J]. Fine Chemicals, 2004, 21(4):245-248.
- [21] 刘涛, 程忠玲, 吴效楠, 等. 用于半胱氨酸检测的比率荧光探针的合成与应用[J]. 精细化工, 2014, 31(7): 817-824.
LIU Tao, CHENG Zhongling, WU Xiaonan, et al. Synthesis and application of the ratiometric fluorescent sensor for cysteine [J]. Fine Chemicals, 2014, 31(7): 817-824.
- [22] 魏荣严, 赵峰, 严世强. 基于罗丹明 B 的 off-on 型席夫碱荧光探针的研究[J]. 精细化工, 2013, 30(10):1 169-

- 1 172.
- WEI Rongyan, ZHAO Feng, YAN Shiqiang. A study of “off-on” schiff-base fluorescent probe based on rhodamine B[J]. Fine Chemicals, 2013, 30(10): 1 169-1 172.
- [23] 丁宝辰, 朱红军, 李小墨, 等. 以香豆素为母体的荧光探针的合成、离子识别及拟合计算研究[J]. 精细化工, 2014, 31(6): 695-698, 748.
- DING baochen, ZHU Hongjun, LI Xiaomo, et al. Synthesis, ionic recognition and theoretical calculation of the fluorescence probe derived from coumarin[J]. Fine Chemicals, 2014, 31(6): 695-698, 748.
- [24] 王亮, 刘娟, 郑长征, 等. 一个新的双核锌(Ⅱ)配合物的水热合成、晶体结构和荧光性质[J]. 精细化工, 2012, 29(2): 105-108.
- WANG Liang, LIU Juan, ZHENG Changzheng, et al. Hydrothermal synthesis, crystal structure and fluorescence properties of a new dinuclear Zn(Ⅱ) complex[J]. Fine Chemicals, 2012, 29(2): 105-108.
- [25] 彭梦姣, 郭媛, 杨栋, 等. 香豆素类亚硫酸氢根离子探针的合成及荧光性质研究[J]. 精细化工, 2011, 28(3): 308-312.
- PENG Mengjiao, GUO Yuan, YANG Dong, et al. Study on the synthesis and fluorescence of coumarin-based bisulfite anion probes[J]. Fine Chemicals, 2011, 28(3): 308-312.
- [26] 韩晓三, 梁高林. 自组装纳米荧光探针用于 caspase-3 的检测[J]. 中国科学技术大学学报, 2015, 45(8): 643-648.
- HAN Xiaosan, LIANG Gaolin. Detection of caspase-3 by fluorescence quenching effect of a self-assembly nanoparticle[J]. Journal of University of Science and Technology of China, 2015, 45(8): 643-648.
- [27] ZHOU Y, WANG F, KIM Y, et al. Cu²⁺-selective ratiometric and “off-on” sensor based on the rhodamine derivative bearing pyrene group[J]. Organic Letters, 2009, 11(19): 4 442-4 445.
- [28] 恩达, 孙晓红, 延永. 香豆素-铜离子(Ⅱ)配合物硫醇荧光探针的合成及荧光性质[J]. 精细化工, 2014, 31(10): 1 183-1 187.
- EN Da, SUN Xiaohong, YAN Yong. Synthesis and fluorescence of complex coumarin-Cu(Ⅱ) thiols probes [J]. Fine Chemicals, 2014, 31(10): 1 183-1 187.
- [29] DEMASA J N, CROSBY G A. Measurement of photoluminescence quantum yields. Review[J]. The Journal of Physical Chemistry, 1971, 75(8): 991-1 024.
- [30] BENESI H A, HILDEBRAND J H. A spectrophotometric investigation of the interaction of iodine with aromatic hydrocarbons[J]. Journal of the American Chemical Society, 1949, 71(8): 2 703-2 707.
- [31] YANNISI L. Multiple complex formation of fluorescent compounds with cyclodextrins: Efficient determination and evaluation of the binding constant with improved fluorometric studies[J]. The Journal of Physical Chemistry B, 1997, 101(24): 4 863-4 866.
- [32] JISHA V S, THOMAS A J, RAMAIAH D. Fluorescence ratiometric selective recognition of Cu²⁺ ions by dansyl-naphthalimide dyads[J]. The Journal of Organic Chemistry, 2009, 74(17): 6 667-6 673.
- [33] HAKONEN A. Plasmon enhancement and surface wave quenching for phase ratiometry in coextraction-based fluorosensors[J]. Analytical Chemistry, 2009, 81(11): 4 555-4 559.
- [34] ZHU H, FAN J, LU J, et al. Optical Cu²⁺ probe bearing an 8-hydroxyquinoline subunit: High sensitivity and large fluorescence enhancement [J]. Talanta, 2012, 93(15): 55-61.